

Eigenvalues Associated with Prolate Spheroidal Wave Functions of Zero Order

By DAVID SLEPIAN and ESTELLE SONNENBLICK

(Manuscript received June 10, 1965)

Presented here are tables of values of χ_n and λ_n , quantities defined by the eigenvalue problems

$$(1 - x^2)\psi_n'' - 2x\psi_n' + (\chi_n - c^2 x^2)\psi_n = 0$$

and

$$\lambda_n \psi_n(x) = \int_{-1}^1 \frac{\sin c(x - y)}{\pi(x - y)} \psi_n(y) dy.$$

In addition, some approximations for these quantities are given and evaluated.

The prolate spheroidal wave functions of zero order, $\psi_n(x)$, $n = 0, 1, \dots$, are bounded continuous solutions of both the differential equation

$$(1 - x^2) \frac{d^2 \psi_n}{dx^2} - 2x \frac{d \psi_n}{dx} + (\chi_n - c^2 x^2) \psi_n = 0$$

and the integral equation

$$\lambda_n \psi_n(x) = \int_{-1}^1 \frac{\sin c(x - y)}{\pi(x - y)} \psi_n(y) dy.$$

The importance of these functions and the corresponding eigenvalues χ_n and λ_n for a great variety of problems, dealing with such diverse matters as lasers, communication theory, optics, noise theory, etc., can be found in the bibliographies of Refs. 1 and 2. It is our purpose here in response to numerous requests to present some numerical values for these eigenvalues.

Tables I and II list values of χ_n and λ_n respectively for $n = 0(1)20(5)$ 40 and $c = 0(1)20(5)40$. The values given are, we believe, accurate to all eight figures listed.* Results of the computation are shown graphically on Figs. 1-4.

The values of χ_n were obtained using the method of Bouwkamp as explained for example in Flammer.¹ This computation also gives expansion coefficients $d_r^{on}(c)$ in Flammer's notation, from which his quantity $R_{on}^{(1)}(c,1)$ can be computed. The λ 's were then found from

$$\lambda_n = \frac{2c}{\pi} [R_{on}^{(1)}(c,1)]^2.$$

The tables presented required 0.027 hours of computing time on the IBM 7090.

The following formulae for λ_n and χ_n are given in Ref. 2. For fixed n and small c

$$\lambda_n = \frac{2}{\pi} \left[\frac{2^{2n}(n!)^3}{(2n)!(2n+1)!} \right]^2 c^{2n+1} \cdot \left[1 - \frac{(2n+1)c^2}{(2n-1)^2(2n+3)^2} + O(c^4) \right]. \quad (1)$$

For fixed n and large c

$$1 - \lambda_n = \frac{2^{3n+2} \sqrt{\pi} c^{n+\frac{1}{2}} e^{-2c}}{n!} \left[1 - \frac{6n^2 - 2n + 3}{32c} + O\left(\frac{1}{c^2}\right) \right]. \quad (2)$$

Some values computed from the terms explicitly exhibited in (1) and (2) are shown as dotted lines on Figs. 3 and 4.

For n and c both large, we have the following result. Let b be fixed and let

$$n = \left[\frac{2}{\pi} (c + b \ln 2\sqrt{c}) \right] \quad (3)$$

where the brackets denote "integer part of". Then

$$\lim_{c \rightarrow \infty} \lambda_n = (1 + e^{\pi b})^{-1}. \quad (4)$$

* The notation $E \pm XY$ following an entry in the tables indicates that the entry is to be multiplied by $10^{\pm XY}$ where XY is an integer in decimal notation, e.g., $E + 03$ denotes a factor of 10^3 .

TABLE I— χ_n

n	$c =$	1.	2.	3.	4.	5.	6.
0	3.1900006E - 01	1.1277341E + 00	2.1367322E + 00	3.1720674E + 00	4.1951289E + 00	5.2082692E + 00	
1	2.5930846E + 00	4.2871285E + 00	6.8208883E + 00	9.8059438E + 00	1.2911703E + 01	1.6000443E + 01	
2	6.5354718E + 00	8.2257130E + 01	1.1192939E + 01	1.5306300E + 01	2.0176915E + 01	2.6587360E + 01	3.2304199E + 01
3	1.2514462E + 01	1.4100204E + 01	1.6889040E + 01	2.4708535E + 01	2.1048961E + 01	2.8596855E + 01	3.3897096E + 01
4	2.0508274E + 01	2.2054830E + 01	3.4631281E + 01	3.8367138E + 01	4.3358996E + 01	4.9773712E + 01	5.0720194E + 01
5	3.0505405E + 01	3.2035263E + 01	4.6591428E + 01	5.0252698E + 01	5.5080962E + 01	6.1180757E + 01	6.3204199E + 01
6	4.2503818E + 01	4.4024748E + 01	6.0567636E + 01	6.4186116E + 01	6.8924773E + 01	7.4852867E + 01	7.6061567E + 01
7	5.6502845E + 01	5.8018371E + 01	7.4014194E + 01	7.6552100E + 01	8.0143235E + 01	8.4825931E + 01	8.0651159E + 01
8	7.2502203E + 01	7.92011304E + 01	9.4541430E + 01	9.8113806E + 01	1.0275858E + 02	1.0851545E + 02	
9	9.0501757E + 01	1.1200922E + 02	1.1453381E + 02	1.1809267E + 02	1.2271039E + 02	1.2841888E + 02	
10	1.1050143E + 02	1.3400766E + 02	1.3652809E + 02	1.4007696E + 02	1.4467463E + 02	1.5034744E + 02	
11	1.3250119E + 02	1.5800647E + 02	1.9052372E + 02	1.6406496E + 02	1.6864733E + 02	1.7429300E + 02	
12	1.5650101E + 02	1.8400554E + 02	1.8652020E + 02	1.900557E + 02	1.9462601E + 02	2.0025051E + 02	
13	1.8250086E + 02	2.1200480E + 02	2.1451736E + 02	2.1804808E + 02	2.2260902E + 02	2.2821669E + 02	
14	2.1050075E + 02	2.4200419E + 02	2.4451555E + 02	2.4804202E + 02	2.5259526E + 02	2.5818931E + 02	
15	2.4050065E + 02	2.7400370E + 02	2.7651353E + 02	2.8003704E + 02	2.8458396E + 02	2.9016684E + 02	
16	2.7250058E + 02	3.0800328E + 02	3.1051202E + 02	3.1403289E + 02	3.1857456E + 02	3.2414815E + 02	
17	3.0650051E + 02	3.4400294E + 02	3.4651075E + 02	3.5002941E + 02	3.5456666E + 02	3.6013245E + 02	
18	3.4250046E + 02	3.8200264E + 02	3.8450967E + 02	3.8802645E + 02	3.9255996E + 02	3.9811912E + 02	
19	3.8050041E + 02	4.2200239E + 02	4.2450874E + 02	4.2802392E + 02	4.3255422E + 02	4.3810771E + 02	
20	4.2050037E + 02	6.5200154E + 02	6.5450564E + 02	6.5801543E + 02	6.6253497E + 02	6.6806946E + 02	
25	6.5050024E + 02	9.3200108E + 02	9.3801078E + 02	9.4282442E + 02	9.4804850E + 02	9.5406946E + 02	
30	9.3050017E + 02	1.2620008E + 03	1.2645029E + 03	1.2680079E + 03	1.2725180E + 03	1.2780358E + 03	
35	1.2605001E + 03	1.6420006E + 03	1.6445022E + 03	1.6480061E + 03	1.6525138E + 03	1.6580275E + 03	
40	1.6405001E + 03						

TABLE I—Continued

n	$c =$	7.	8.	9.	10.	11.	12.
0	6.2162529E + 00	7.2215789E + 00	8.2254064E + 00	9.2283043E + 00	1.0230581E + 01	1.1232421E + 01	
1	1.9056678E + 01	2.2092154E + 01	2.5116120E + 01	2.8133464E + 01	3.1146682E + 01	3.4157135E + 01	
2	3.0566201E + 01	3.5706417E + 01	4.0802595E + 01	4.5868953E + 01	5.0916879E + 01	5.5953514E + 01	
3	4.0405727E + 01	4.7757099E + 01	5.5051178E + 01	6.2257700E + 01	6.9401323E + 01	7.6505824E + 01	
4	4.8910585E + 01	5.8016770E + 01	6.7500818E + 01	7.6993289E + 01	8.6369707E + 01	9.5638659E + 01	
5	5.7777751E + 01	6.7364750E + 01	7.8205025E + 01	8.9739267E + 01	1.0144734E + 02	1.1305411E + 02	
6	6.8701439E + 01	7.7825223E + 01	8.8658000E + 01	1.0103543E + 02	1.1446976E + 02	1.2855139E + 02	
7	8.2064637E + 01	9.0691430E + 01	1.00690790E + 02	1.1288107E + 02	1.2660565E + 02	1.4174474E + 02	
8	9.7684571E + 01	1.0601169E + 02	1.1574796E + 02	1.2705083E + 02	1.4010628E + 02	1.5502454E + 02	
9	1.1543428E + 02	1.2557716E + 02	1.3302232E + 02	1.4387201E + 02	1.5626473E + 02	1.7038033E + 02	
10	1.3525788E + 02	1.4327579E + 02	1.5253134E + 02	1.6309665E + 02	1.7506323E + 02	1.8855245E + 02	
11	1.5712799E + 02	1.6505554E + 02	1.7417688E + 02	1.8454762E + 02	1.9623470E + 02	2.032095E + 02	
12	1.8102925E + 02	1.888879E + 02	1.9791014E + 02	2.0813839E + 02	2.1962634E + 02	2.3243647E + 02	
13	2.0695232E + 02	2.1475915E + 02	2.2370349E + 02	2.3382295E + 02	2.4516097E + 02	2.5776775E + 02	
14	2.3489114E + 02	2.4265622E + 02	2.5153975E + 02	2.6157378E + 02	2.7279496E + 02	2.8524510E + 02	
15	2.6484166E + 02	2.7257305E + 02	2.8140764E + 02	2.9137313E + 02	3.0250101E + 02	3.1482692E + 02	
16	2.9680105E + 02	3.0450484E + 02	3.132940E + 02	3.2320865E + 02	3.3426093E + 02	3.4618622E + 02	
17	3.3076730E + 02	3.3844819E + 02	3.4720956E + 02	3.5707281E + 02	3.6806210E + 02	3.8020452E + 02	
18	3.6673895E + 02	3.7440061E + 02	3.8313413E + 02	3.9295889E + 02	4.0389544E + 02	4.1596869E + 02	
19	4.0471489E + 02	4.1236024E + 02	4.2107018E + 02	4.3086179E + 02	4.4175430E + 02	4.5376914E + 02	
20	4.4469430E + 02	4.5232571E + 02	4.6101548E + 02	4.7077902E + 02	4.8163367E + 02	4.9359870E + 02	
25	6.7462529E + 02	6.8220999E + 02	6.9083226E + 02	7.0050200E + 02	7.1123026E + 02	7.2302932E + 02	
30	9.5458747E + 02	9.6214660E + 02	9.7073194E + 02	9.8035039E + 02	9.9100965E + 02	1.0027182E + 03	
35	1.2845645E + 03	1.2921081E + 03	1.3006711E + 03	1.31025584E + 03	1.3208759E + 03	1.3325979E + 03	
40	1.6645496E + 03	1.6720830E + 03	1.6806314E + 03	1.6901985E + 03	1.7007886E + 03	1.7124067E + 03	

TABLE I—Continued

n	$c =$	13.	14.	15.	16.	17.	18.
0	1.2233039E + 01	1.3235214E + 01	1.4236300E + 01	1.5237237E + 01	1.6238054E + 01	1.7238772E + 01	
1	3.7165631E + 01	4.0172681E + 01	4.618372E + 01	4.9188129E + 01	5.2191983E + 01	5.5094143E + 02	
2	6.0982596E + 01	6.6006328E + 01	7.1026104E + 01	7.6042858E + 01	8.1057244E + 01	8.6069739E + 01	
3	8.3585719E + 01	9.06494230E + 01	9.7701181E + 01	1.0474459E + 02	1.1178148E + 02	1.1881324E + 02	
4	1.0483494E + 02	1.1398465E + 02	1.2310348E + 02	1.3220071E + 02	1.4128205E + 02	1.5035127E + 02	
5	1.2450713E + 02	1.3584050E + 02	1.4709398E + 02	1.5829441E + 02	1.6945806E + 02	1.8059490E + 02	
6	1.4223009E + 02	1.5693166E + 02	1.6948044E + 02	1.8285785E + 02	1.9617229E + 02	2.0492797E + 02	
7	1.5768187E + 02	1.7382917E + 02	1.8983663E + 02	2.0562050E + 02	2.121898E + 02	2.3668721E + 02	
8	1.7164637E + 02	1.8946449E + 02	2.0780930E + 02	2.2615098E + 02	2.4425730E + 02	2.6211708E + 02	
9	1.8639078E + 02	2.0430123E + 02	2.2377440E + 02	2.4417004E + 02	2.6481922E + 02	2.8529987E + 02	
10	2.0372711E + 02	2.2077813E + 02	2.3982549E + 02	2.6072449E + 02	2.8296138E + 02	3.0581686E + 02	
11	2.2391335E + 02	2.4015533E + 02	2.5823139E + 02	2.7832097E + 02	3.044546E + 02	3.2428066E + 02	
12	2.4664501E + 02	2.6234574E + 02	2.7966575E + 02	2.9877161E + 02	3.1985976E + 02	3.4306306E + 02	
13	2.7170195E + 02	2.8703335E + 02	3.0384785E + 02	3.2225590E + 02	3.4240470E + 02	3.64483308E + 02	
14	2.9897207E + 02	3.1403113E + 02	3.3048712E + 02	3.4841822E + 02	3.6792260E + 02	3.8912905E + 02	
15	3.2839115E + 02	3.4323943E + 02	3.5942402E + 02	3.7700550E + 02	3.9605573E + 02	4.1666293E + 02	
16	3.5991943E + 02	3.7459944E + 02	3.9046997E + 02	4.0788062E + 02	4.2658830E + 02	4.4675957E + 02	
17	3.9353027E + 02	4.0807299E + 02	4.2387018E + 02	4.4096376E + 02	4.5940093E + 02	4.7925357E + 02	
18	4.2920498E + 02	4.4363385E + 02	4.5928798E + 02	4.7620357E + 02	4.9442089E + 02	5.1398496E + 02	
19	4.6693004E + 02	4.8126322E + 02	4.967975E + 02	5.1356471E + 02	5.3159977E + 02	5.5094143E + 02	
20	5.0669542E + 02	5.2094728E + 02	5.3638001E + 02	5.5302178E + 02	5.7090346E + 02	5.9005891E + 02	
25	7.3591287E + 02	7.4989504E + 02	7.6499245E + 02	7.8122221E + 02	7.9860305E + 02	8.1715510E + 02	
30	1.0154855E + 03	1.0293217E + 03	1.0442378E + 03	1.0602457E + 03	1.0775582E + 03	1.0955890E + 03	
35	1.3452267E + 03	1.3589745E + 03	1.3737811E + 03	1.3896552E + 03	1.4066063E + 03	1.4246442E + 03	
40	1.7250580E + 03	1.7387482E + 03	1.7534835E + 03	1.7692707E + 03	1.7861168E + 03	1.8040295E + 03	

TABLE I—Continued

n	$c =$	19.	20.	25.	30.	35.	40.
0	$1.8239408E + 01$	$1.9239976E + 01$	$2.4242094E + 01$	$2.9243472E + 01$	$3.4244440E + 01$	$3.9245159E + 01$	
1	$5.519583E + 01$	$5.8193904E + 01$	$7.3202177E + 01$	$8.8216755E + 01$	$1.0322177E + 02$	$1.1822547E + 02$	
2	$9.1080697E + 01$	$9.6090388E + 01$	$1.2112584E + 02$	$1.4614836E + 02$	$1.7116395E + 02$	$1.9617538E + 02$	
3	$1.2584090E + 02$	$1.3286522E + 02$	$1.6795309E + 02$	$2.0300813E + 02$	$2.3804589E + 02$	$2.7307342E + 02$	
4	$1.5941100E + 02$	$1.6846310E + 02$	$2.1364862E + 02$	$2.5876280E + 02$	$3.0384036E + 02$	$3.4889654E + 02$	
5	$1.9171143E + 02$	$2.0281205E + 02$	$2.5816358E + 02$	$3.1337546E + 02$	$3.6851770E + 02$	$4.23611994E + 02$	
6	$2.22641133E + 02$	$2.3582286E + 02$	$3.0144041E + 02$	$3.6680477E + 02$	$4.3204536E + 02$	$4.9721681E + 02$	
7	$2.5206574E + 02$	$2.6738042E + 02$	$3.4341554E + 02$	$4.1900403E + 02$	$4.9438749E + 02$	$5.6965810E + 02$	
8	$2.7978768E + 02$	$2.9732623E + 02$	$3.8400598E + 02$	$4.6991994E + 02$	$5.5504129E + 02$	$6.4091212E + 02$	
9	$3.0548786E + 02$	$3.2541914E + 02$	$4.2311389E + 02$	$5.1949088E + 02$	$6.1535127E + 02$	$7.1094418E + 02$	
10	$3.2868309E + 02$	$3.5126388E + 02$	$4.6061231E + 02$	$5.6764441E + 02$	$6.7387520E + 02$	$7.7971605E + 02$	
11	$3.4916478E + 02$	$3.7436419E + 02$	$4.9632769E + 02$	$6.1429371E + 02$	$7.102784E + 02$	$8.4718535E + 02$	
12	$3.6825795E + 02$	$3.9493519E + 02$	$5.299995E + 02$	$6.5933191E + 02$	$7.8673407E + 02$	$9.1330472E + 02$	
13	$3.8867917E + 02$	$4.1503422E + 02$	$5.6120901E + 02$	$7.0262225E + 02$	$8.4091938E + 02$	$9.7802077E + 02$	
14	$4.1220822E + 02$	$4.3736223E + 02$	$5.8939527E + 02$	$7.4397983E + 02$	$8.9349109E + 02$	$1.0412727E + 03$	
15	$4.3894029E + 02$	$4.6303801E + 02$	$6.1457579E + 02$	$7.8313074E + 02$	$9.4433551E + 02$	$1.10269905E + 03$	
16	$4.6847456E + 02$	$4.9183371E + 02$	$6.3866220E + 02$	$8.1963882E + 02$	$9.9330804E + 02$	$1.1630922E + 03$	
17	$5.0052914E + 02$	$5.2335572E + 02$	$6.6469676E + 02$	$8.5289508E + 02$	$1.0402144E + 03$	$1.2214800E + 03$	
18	$5.3494661E + 02$	$5.5736402E + 02$	$6.9431366E + 02$	$8.8272216E + 02$	$1.0847715E + 03$	$1.2780344E + 03$	
19	$5.7163273E + 02$	$5.9372195E + 02$	$7.273245E + 02$	$9.1079393E + 02$	$1.1265337E + 03$	$1.3326043E + 03$	
20	$6.1052541E + 02$	$6.3234422E + 02$	$7.6357631E + 02$	$9.4039833E + 02$	$1.1648560E + 03$	$1.3849884E + 03$	
25	$8.369003E + 02$	$8.786114E + 02$	$9.8187790E + 02$	$1.1407460E + 03$	$1.3423987E + 03$	$1.607929E + 03$	
30	$1.1149527E + 03$	$1.1354649E + 03$	$1.2558699E + 03$	$1.4079656E + 03$	$1.5952330E + 03$	$1.8229611E + 03$	
35	$1.4437796E + 03$	$1.4640322E + 03$	$1.5823180E + 03$	$1.7304322E + 03$	$1.9106676E + 03$	$2.1260735E + 03$	
40	$1.8230168E + 03$	$1.8430874E + 03$	$1.9600239E + 03$	$2.1056213E + 03$	$2.2815621E + 03$	$2.4899642E + 03$	

TABLE II— λ_n

$c =$	n	1.	2.	3.	4.	5.	6.
0	5.7258178E - 01	8.8055992E - 01	9.7582863E - 01	9.9588549E - 01	9.9935241E - 01	9.9990188E - 01	9.9990188E - 01
1	6.2791274E - 02	3.5564063E - 01	7.0996324E - 01	9.1210742E - 01	9.7986456E - 01	9.9606164E - 01	9.9606164E - 01
2	1.2374793E - 03	3.5867688E - 02	5.1055484E - 01	7.9992193E - 01	9.4017339E - 01	9.4679195E - 01	9.4679195E - 01
3	9.2009770E - 06	1.1522328E - 03	1.8203800E - 02	1.1021099E - 01	3.4356219E - 01	6.4679195E - 01	6.4679195E - 01
4	3.7179286E - 08	1.8881549E - 05	7.0814710E - 04	8.8278764E - 03	5.6015851E - 02	2.0734922E - 01	2.0734922E - 01
5	9.4914367E - 11	1.9355522E - 07	1.6551244E - 05	3.8129172E - 04	4.1820948E - 03	2.7387166E - 02	2.7387166E - 02
6	1.6715716E - 13	1.3660608E - 09	2.6410165E - 07	1.0950871E - 05	1.9330846E - 04	1.9550007E - 03	1.9550007E - 03
7	2.1544491E - 16	7.0488855E - 12	3.0737365E - 09	2.2786389E - 07	6.3591502E - 06	9.4367476E - 05	9.4367476E - 05
8	2.1207239E - 19	2.7767898E - 14	2.7281307E - 11	3.6065493E - 09	1.5822998E - 07	3.4367533E - 06	3.4367533E - 06
9	1.6466214E - 22	8.62667788E - 17	1.9085689E - 13	4.4938297E - 11	3.0917257E - 09	9.7321160E - 08	9.7321160E - 08
10	1.0343492E - 25	2.1680119E - 19	1.0797906E - 15	4.5252285E - 13	4.8757393E - 11	2.2189805E - 09	2.2189805E - 09
11	5.3650197E - 29	4.4986573E - 22	5.0431156E - 18	3.7603029E - 15	6.3402794E - 13	4.1662263E - 11	4.1662263E - 11
12	2.3367231E - 32	7.8382450E - 25	1.9775436E - 20	2.6228187E - 17	6.9173022E - 15	6.5574786E - 13	6.5574786E - 13
13	8.6674831E - 36	1.1630367E - 27	6.6033063E - 23	1.5575942E - 19	6.4235507E - 17	8.7803771E - 15	8.7803771E - 15
14	2.7709612E - 39	1.4873466E - 30	1.9002929E - 25	7.9711081E - 22	5.1393068E - 19	1.0125783E - 16	1.0125783E - 16
15	0.	1.6563614E - 33	4.7620029E - 28	3.5519080E - 24	3.5797463E - 21	1.0163838E - 18	1.0163838E - 18
16	0.	1.6207613E - 36	1.0485031E - 30	1.3905716E - 26	2.1905130E - 23	8.9610464E - 21	8.9610464E - 21
17	0.	0.	2.0444867E - 33	4.8210691E - 29	1.1869344E - 25	6.9950907E - 23	6.9950907E - 23
18	0.	0.	3.5551880E - 36	1.4905449E - 31	5.7350388E - 28	4.8687451E - 25	4.8687451E - 25
19	0.	0.	5.5475853E - 39	4.1352414E - 34	2.4884675E - 30	3.0405184E - 27	3.0405184E - 27
20	0.	0.	0.	1.0352225E - 36	9.7273155E - 33	1.7132439E - 29	1.7132439E - 29
25	0.	0.	0.	0.	0.	0.	0.
30	0.	0.	0.	0.	0.	0.	0.
35	0.	0.	0.	0.	0.	0.	0.
40	0.	0.	0.	0.	0.	0.	0.

TABLE II—Continued

n	$\epsilon =$	7.	8.	9.	10.	11.	12.
0	9.9998546E - 01	9.9999787E - 01	9.9999969E - 01	9.9999996E - 01	9.9999999E - 01	1.0000000E + 00	
1	9.9929217E - 01	9.9987898E - 01	9.999999E - 01	9.9999967E - 01	9.9999949E - 01	9.999992E - 01	
2	9.8570806E - 01	9.9700462E - 01	9.9941873E - 01	9.989273E - 01	9.989091E - 01	9.999670E - 01	
3	8.6456615E - 01	9.6054568E - 01	9.9039622E - 01	9.9790124E - 01	9.9957158E - 01	9.9991663E - 01	
4	4.7705272E - 01	7.4790284E - 01	9.1013316E - 01	9.7445778E - 01	9.9371700E - 01	9.98558732E - 01	
5	1.1572386E - 01	2.3027663E - 01	5.9909617E - 01	8.2614635E - 01	9.4136927E - 01	9.8366430E - 01	
6	1.3055972E - 02	6.0784427E - 02	1.9693935E - 02	4.4015011E - 01	7.0394130E - 01	8.8715663E - 01	
7	9.0657300E - 04	6.12632894E - 03	3.0565075E - 03	1.1232482E - 02	2.9607849E - 01	5.5736081E - 01	
8	4.5623948E - 05	4.1825206E - 04	2.8466070E - 04	1.4920175E - 03	6.0370339E - 02	1.8342927E - 01	
9	1.7774751E - 06	2.1663088E - 05	1.9230822E - 05	1.3145890E - 04	7.147030E - 03	3.1054179E - 02	
10	5.5526131E - 08	8.9304272E - 07	1.0194316E - 05	8.8213430E - 05	6.0469421E - 04	3.3745471E - 03	
11	1.4251398E - 09	3.0137590E - 08	4.397399E - 07	4.7664454E - 06	4.0395675E - 05	2.7741888E - 04	
12	3.0622379E - 11	8.4965846E - 10	1.5795600E - 08	2.1339628E - 07	2.2179166E - 06	1.8475085E - 05	
13	5.5928434E - 13	2.0334083E - 11	4.8068821E - 10	8.070164E - 09	1.0243298E - 07	1.0282524E - 06	
14	8.7926605E - 15	4.1852675E - 13	1.2564804E - 11	2.6170188E - 10	4.0455355E - 09	4.87558791E - 08	
15	1.2026890E - 16	7.4905020E - 15	2.8533973E - 13	7.3634903E - 12	1.3840557E - 10	1.9981456E - 09	
16	1.4445726E - 18	1.1767148E - 16	5.6843266E - 15	1.8159382E - 13	4.453619E - 12	7.15171886E - 11	
17	1.5359357E - 20	1.6358709E - 18	1.0016699E - 16	3.9589753E - 15	1.0966649E - 13	2.2619074E - 12	
18	1.4559023E - 22	2.0270123E - 20	1.5727550E - 18	7.6870812E - 17	2.5823710E - 15	6.3875326E - 14	
19	1.2380854E - 24	2.2529462E - 22	2.2145250E - 20	1.3380681E - 18	5.4488496E - 17	1.6002320E - 15	
20	9.4989023E - 27	2.2588880E - 24	2.8123556E - 22	2.1001719E - 20	1.0363386E - 18	3.6290304E - 17	
25	6.3410693E - 38	5.7412040E - 35	2.3265268E - 32	4.988700E - 30	6.4263487E - 28	5.4015219E - 26	
30	0.	0.	0.	0.	5.4863023E - 38	1.1037482E - 35	
35	0.	0.	0.	0.	0.	0.	
40	0.	0.	0.	0.	0.	0.	

TABLE II—Continued

n	$c =$	13.	14.	15.	16.	17.	18.
0	1.000000E + 00	1.000000E + 00	1.000000E + 00	1.000000E + 00	1.000000E + 00	1.000000E + 00	1.000000E + 00
1	9.999999E - 01	9.999999E - 01	9.999999E - 01	9.999998E - 01	9.999998E - 01	9.999998E - 01	9.999998E - 01
2	9.999944E - 01	9.999915E - 01	9.999915E - 01	9.999915E - 01	9.999915E - 01	9.999915E - 01	9.999915E - 01
3	9.998436E - 01	9.999715E - 01	9.999715E - 01	9.999715E - 01	9.999715E - 01	9.999715E - 01	9.999715E - 01
4	9.997010E - 01	9.999348E - 01	9.999348E - 01	9.999348E - 01	9.999348E - 01	9.999348E - 01	9.999348E - 01
5	9.9595266E - 01	9.9907074E - 01	9.9907074E - 01	9.9907074E - 01	9.9907074E - 01	9.9907074E - 01	9.9907074E - 01
6	9.622505E - 01	9.8963945E - 01					
7	7.8874478E - 01	9.2170099E - 01	9.2170099E - 01	9.2170099E - 01	9.2170099E - 01	9.2170099E - 01	9.2170099E - 01
8	4.0633176E - 01	6.6365081E - 01	6.6365081E - 01	6.6365081E - 01	6.6365081E - 01	6.6365081E - 01	6.6365081E - 01
9	1.0588399E - 01	2.72545759E - 01					
10	1.5487268E - 02	5.7772021E - 02	5.7772021E - 02	5.7772021E - 02	5.7772021E - 02	5.7772021E - 02	5.7772021E - 02
11	1.5807741E - 03	7.5604029E - 03	7.5604029E - 03	7.5604029E - 03	7.5604029E - 03	7.5604029E - 03	7.5604029E - 03
12	1.2703997E - 04	7.36094236E - 04					
13	8.4414630E - 06	5.8099164E - 06	5.8099164E - 06	5.8099164E - 06	5.8099164E - 06	5.8099164E - 06	5.8099164E - 06
14	4.7534082E - 07	3.8540665E - 06					
15	2.3057257E - 08	2.1923715E - 07					
16	9.7549162E - 10	1.0846150E - 08					
17	3.6355974E - 11	4.7180556E - 10	5.080249E - 09				
18	1.2039857E - 12	1.8208273E - 11	2.2646216E - 10				
19	3.5675475E - 14	6.2816688E - 13	9.0124935E - 12				
20	9.5186419E - 16	1.9498859E - 14	3.2240722E - 13				
25	3.1773164E - 24	1.3781710E - 22	4.5947254E - 21				
30	1.4501906E - 33	1.3251429E - 31	8.8515118E - 30				
35	0.	0.	0.	0.	0.	0.	0.
40	0.	0.	0.	0.	0.	0.	0.

TABLE II—Continued

n	$c =$	19.	20.	25.	30.	35.	40.
0	1.000000E + 00						
1	1.000000E + 00						
2	1.000000E + 00						
3	1.000000E + 00						
4	9.999999E - 01	1.000000E + 00					
5	9.999998E - 01	9.999994E - 01	1.000000E + 00				
6	9.9999408E - 01	9.999981E - 01	1.000000E + 00				
7	9.9991254E - 01	9.999893E - 01	9.999999E - 01	1.000000E + 00	1.000000E + 00	1.000000E + 00	1.000000E + 00
8	9.9896831E - 01	9.9975345E - 01	9.999988E - 01	1.000000E + 00	1.000000E + 00	1.000000E + 00	1.000000E + 00
9	9.9042654E - 01	9.9743251E - 01	9.9998821E - 01	1.000000E + 00	1.000000E + 00	1.000000E + 00	1.000000E + 00
10	9.3461880E - 01	9.7911569E - 01	9.9997682E - 01	9.999999E - 01	1.000000E + 00	1.000000E + 00	1.000000E + 00
11	7.1923718E - 01	8.7971361E - 01	9.9974565E - 01	9.999983E - 01	1.000000E + 00	1.000000E + 00	1.000000E + 00
12	3.4534703E - 01	5.8879338E - 01	9.9766185E - 01	9.9999783E - 01	1.000000E + 00	1.000000E + 00	1.000000E + 00
13	9.0528307E - 02	2.2898871E - 02	9.8251216E - 01	9.997547E - 01	9.999998E - 01	1.000000E + 00	1.000000E + 00
14	1.4751648E - 02	5.0245996E - 02	9.0214476E - 01	9.9975907E - 01	9.9999980E - 01	1.000000E + 00	1.000000E + 00
15	1.7952937E - 03	7.4212338E - 03	6.5120574E - 01	9.9796698E - 01	9.9999766E - 01	1.000000E + 00	1.000000E + 00
16	1.7967267E - 04	8.598368E - 04	2.916771E - 01	9.8564508E - 01	9.9997604E - 01	9.9999998E - 01	9.9999998E - 01
17	1.5383334E - 05	8.3739541E - 05	7.5468799E - 02	9.2101083E - 01	9.9978298E - 01	9.9999978E - 01	9.9999978E - 01
18	1.1493460E - 06	7.0600702E - 06	1.3031043E - 02	7.0692287E - 01	9.9828070E - 01	9.9999766E - 01	9.9999766E - 01
19	7.5908731E - 08	5.2374892E - 07	1.7588754E - 03	3.5647890E - 01	9.8836235E - 01	9.9997777E - 01	9.9997777E - 01
20	4.4748828E - 09	3.4574493E - 08	2.0082884E - 04	1.0627740E - 01	9.3662832E - 01	9.9981076E - 01	9.9981076E - 01
25	7.3154280E - 16	9.7203030E - 15	6.759461E - 10	4.7379571E - 06	5.3273087E - 03	4.8731168E - 01	4.8731168E - 01
30	1.5483211E - 23	3.4788064E - 22	2.4882077E - 16	1.3177338E - 11	1.0489720E - 07	1.7876070E - 04	1.7876070E - 04
35	6.1447670E - 32	2.3202540E - 30	1.6231560E - 23	5.8407336E - 18	2.5646333E - 13	2.2391506E - 09	2.2391506E - 09
40	0.	2.4836333E - 31	5.8205690E - 25	1.3022033E - 19	4.9862021E - 15		

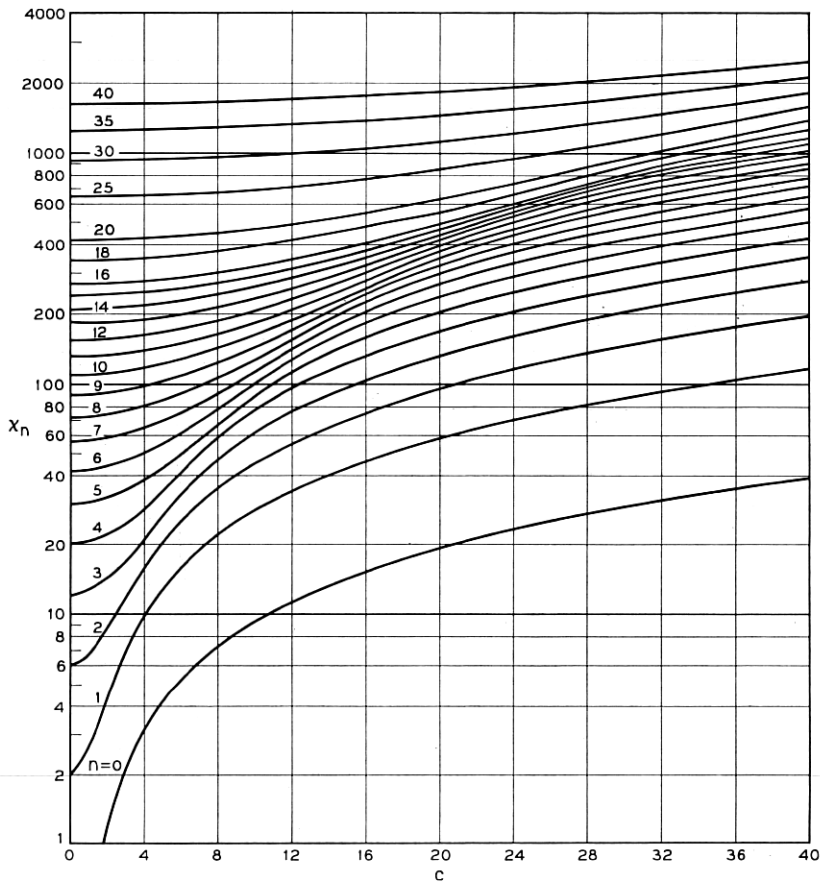


Fig. 1 — Eigenvalues, x_n , of $(1 - x^2)\psi'' - 2x\psi' + (x - c^2x^2)\psi = 0$.

The derivation of (3) and (4) given in Ref. 2 suggests the approximate formula

$$\lambda_n \approx \hat{\lambda}_n = (1 + e^{\pi b})^{-1} \quad (5)$$

$$\hat{b} = \frac{n \frac{\pi}{2} - c + \frac{\pi}{4}}{(\gamma/2) + 2 \ln 2 + \frac{1}{2} \ln c} \quad (6)$$

for the near vertical rise portions of the λ_n curves shown on Fig. 2. Here, $\gamma = 0.5772156649 \dots$ is the Euler-Mascheroni constant. The remarkable accuracy of this approximation is shown on Fig. 5. Here, for

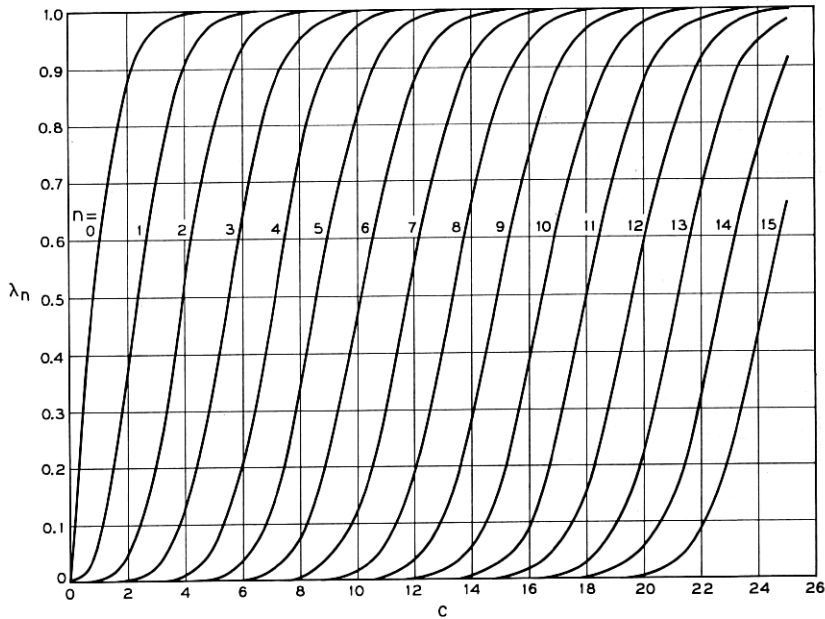


Fig. 2 — Eigenvalues, λ_n , of integral equation. Linear scale.

fixed values of n and \hat{b} , we have determined values of c from (6) and for these values of n and c have plotted $|(\hat{\lambda}_n/\lambda_n) - 1|$ vs n . It is seen that for $0.2 \leq \hat{\lambda}_n \leq 0.9$, (5) and (6) give an excellent approximation even for small values of n .

Corresponding formulae for the χ_n follow. For fixed n and small c

$$\chi_n = n(n+1) + \frac{1}{2} \left[1 + \frac{1}{(2n-1)(2n+3)} \right] c^2 + O(c^4)$$

and for fixed n and large c

$$\begin{aligned} \chi_n = (2n+1)c - \frac{2n^2 + 2n + 3}{4} \\ - \frac{(2n+1)(n^2 + n + 3)}{16c} + O\left(\frac{1}{c^2}\right). \end{aligned}$$

If n and c become large according to (3) with b fixed,

$$\chi_n = c^2 + 2bc + \frac{b^2 - 1}{2} - \frac{b^3 - b}{8c} + O\left(\frac{1}{c^2}\right).$$

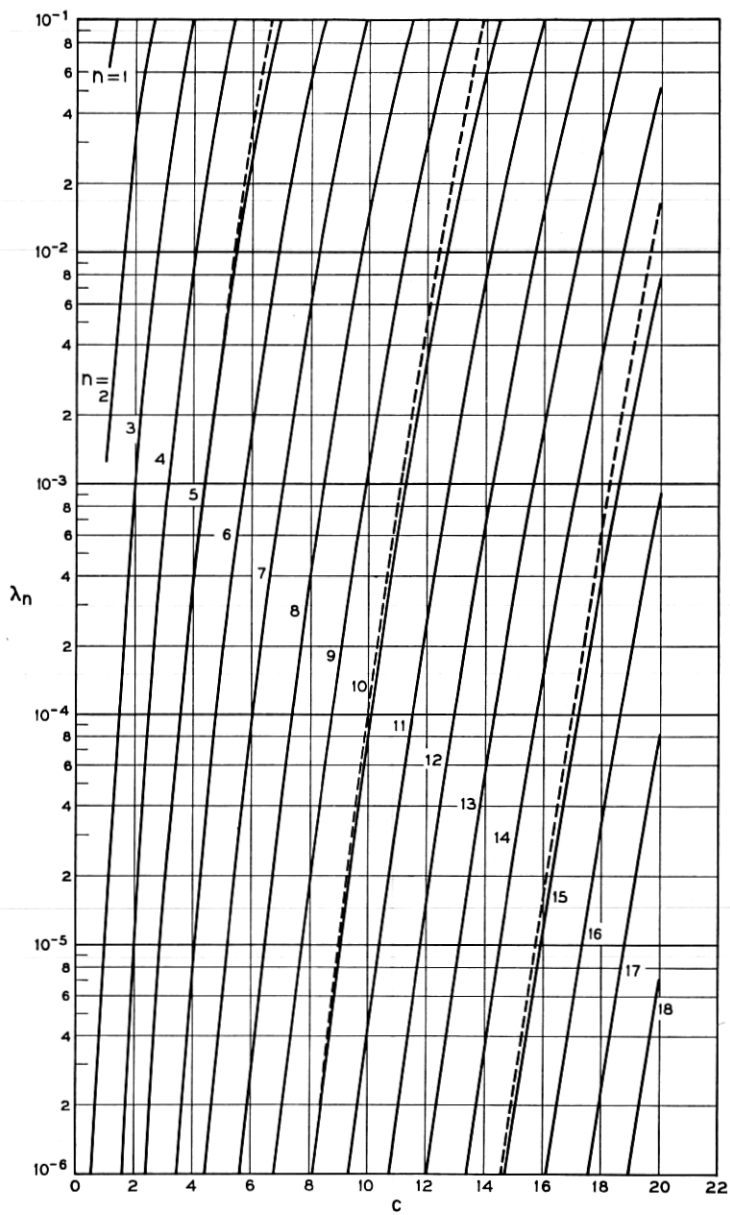


Fig. 3 — Eigenvalues, λ_n , of integral equation for $c < n\pi/2$. Dashed lines are approximation (1).

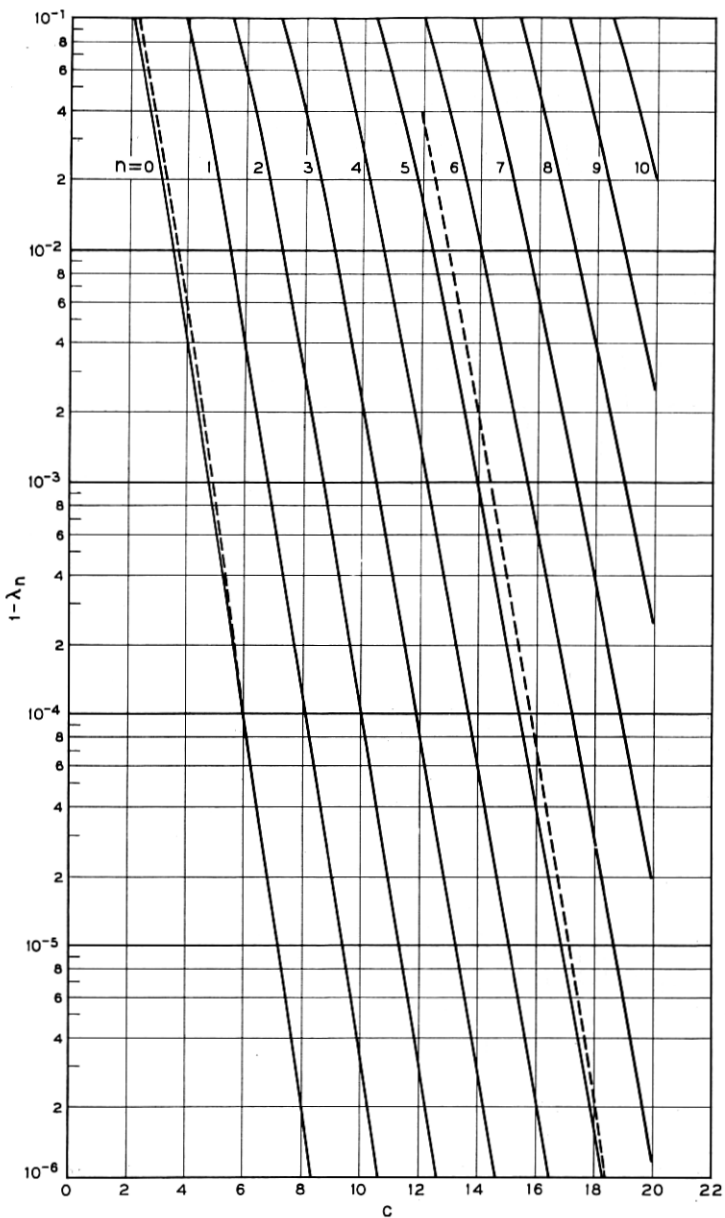


Fig. 4 — Eigenvalues, λ_n , of integral equation for $c > n\pi/2$. Dashed lines are approximation (2).

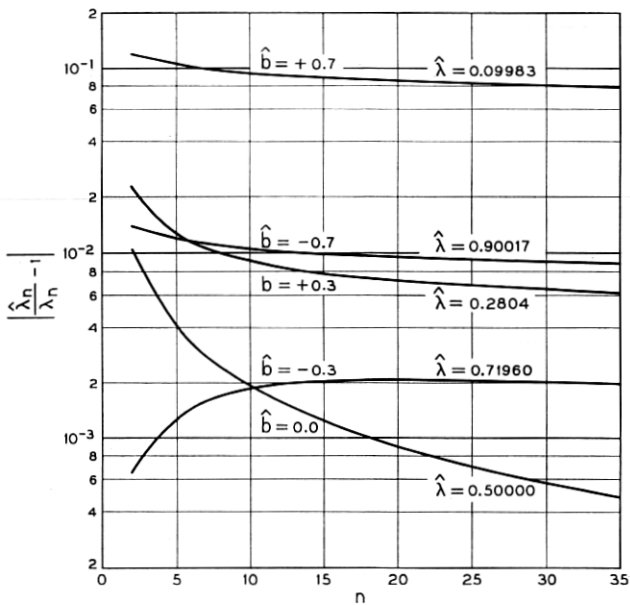


Fig. 5 — Accuracy of the approximation (5) — (6) for the eigenvalues λ_n .

REFERENCES

1. Flammer, C., *Spheroidal Wave Functions*, Stanford Univ. Press, Stanford, 1957.
2. Slepian, D., Some Asymptotic Expansions for Prolate Spheroidal Wave Functions, *J. Math. and Phys.*, 44, No. 2, June, 1965, pp. 99–140.

